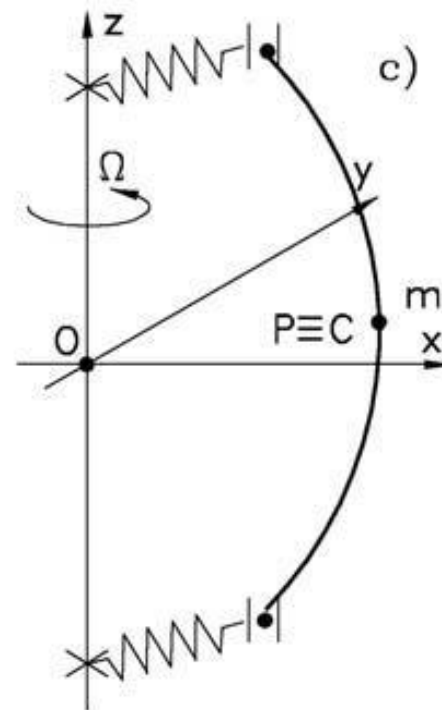
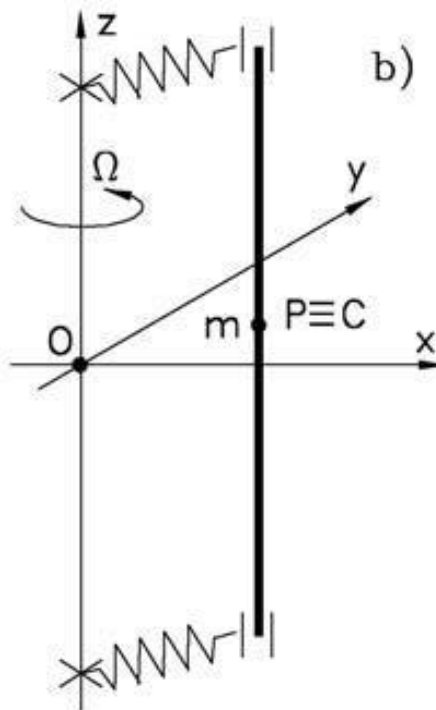
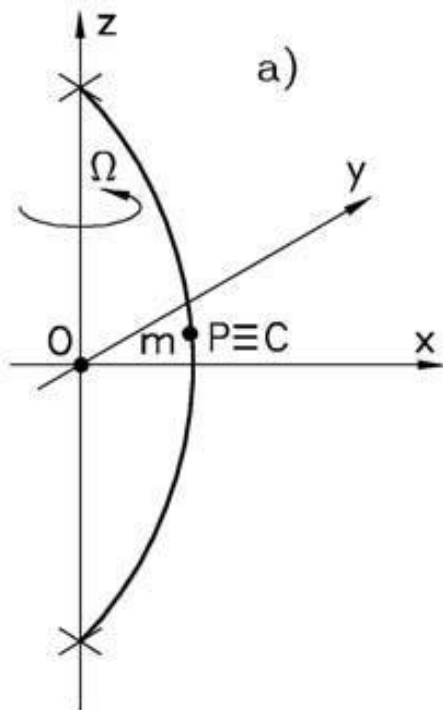




## 3.1 SISTEMAS GIRANTES – SLIDES EXTRAS – LIVRO GENTA

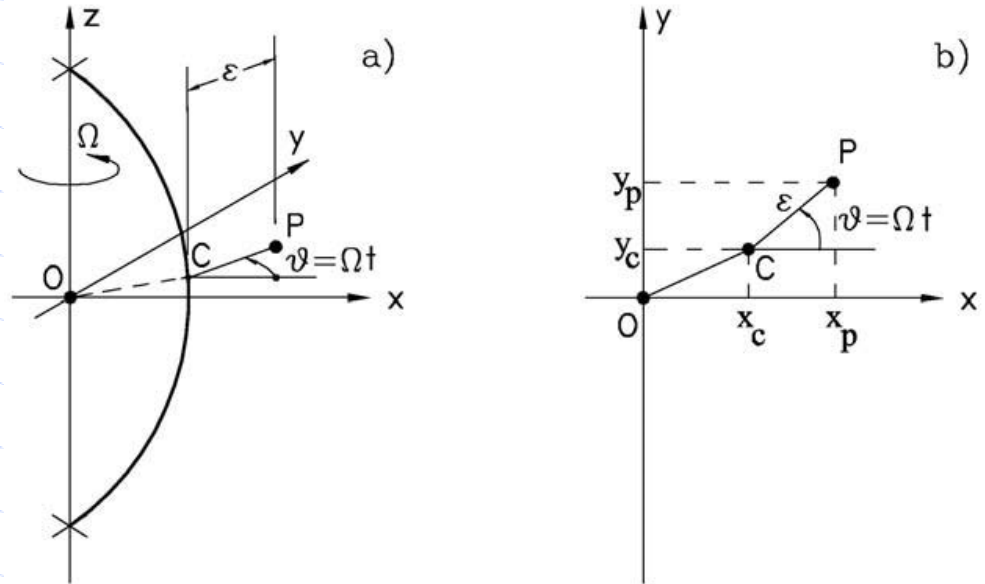
## ◆ Rotor de Jeffcott – sem amortecimento

Rotor Jeffcott com diferentes modelos de mancais. O centro de massa coincide com a linha neutra do eixo.



## ◆ Rotor de Jeffcott – Equação de Movimento

Supondo que o centro de massa encontra-se em P, a uma distância  $\varepsilon$  da linha neutra do eixo, ponto C, é possível definir a posição deste ponto em relação à referência inercial.



$$\overline{P-O} = r_P(t) = \begin{Bmatrix} x_P(t) \\ y_P(t) \end{Bmatrix} = \begin{Bmatrix} x_C(t) + \varepsilon \cos(\Omega t) \\ y_C(t) + \varepsilon \sin(\Omega t) \end{Bmatrix}$$

$$\dot{r}_P(t) = \begin{Bmatrix} \dot{x}_P(t) \\ \dot{y}_P(t) \end{Bmatrix} = \begin{Bmatrix} \dot{x}_C(t) - \varepsilon \Omega \sin(\Omega t) \\ \dot{y}_C(t) + \varepsilon \Omega \cos(\Omega t) \end{Bmatrix}$$

## ◆ Rotor de Jeffcott – Equação de Movimento

A energia cinética é:

$$\begin{aligned} T &= \frac{1}{2} m (\dot{x}_P^2 + \dot{y}_P^2) \\ &= \frac{1}{2} m (\dot{x}_P^2 + \dot{y}_P^2 + \varepsilon^2 \Omega^2 + 2\varepsilon\Omega [-\dot{x}_C \sin(\Omega t) + \dot{y}_C \cos(\Omega t)]) \end{aligned}$$

e a energia potencial,  $U$

$$U = \frac{1}{2} k (x_C^2 + y_C^2).$$

Aplicando a Equação de Lagrange,  $L = T - U$

$$\frac{d}{dt} \left( \frac{\partial L}{\partial \dot{q}_i} \right) - \frac{\partial L}{\partial q_i} = Q_i$$

onde  $q_i$  são as coordenadas generalizadas ( $x_C$  e  $y_C$ ).

## ◆ Rotor de Jeffcott – Equação de Movimento

Assumindo que as forças externas atuam em  $P$ , as forças generalizadas,  $Q_i$ , podem ser facilmente obtidas supondo um deslocamento virtual do ponto  $C$   $[\delta x_C \delta y_C]^T$

→ O trabalho virtual será:

$$W = F_x \delta x_C + F_y \delta y_C$$

É então é possível encontrar a equação de movimento:

$$\frac{d}{dt} \left( \frac{\partial L}{\partial \dot{x}_C} \right) = m \ddot{x}_C - m \varepsilon \Omega^2 \cos(\Omega t)$$

$$\frac{\partial L}{\partial x_C} = k x_C$$

$$\frac{d}{dt} \left( \frac{\partial L}{\partial \dot{y}_C} \right) = m \ddot{y}_C - m \varepsilon \Omega^2 \sin(\Omega t)$$

$$\frac{\partial L}{\partial y_C} = k y_C$$

## ◆ Rotor de Jeffcott – Equação de Movimento

Assim:

$$\begin{cases} m \ddot{x}_C(t) + k x_C(t) = m\varepsilon \Omega^2 \cos(\Omega t) + F_x \\ m \ddot{y}_C(t) + k y_C(t) = m\varepsilon \Omega^2 \sin(\Omega t) + F_y \end{cases}$$

Matricialmente:

$$\begin{bmatrix} m & 0 \\ 0 & m \end{bmatrix} \{\ddot{q}_C(t)\} + \begin{bmatrix} k & 0 \\ 0 & k \end{bmatrix} \{q_C(t)\} = \begin{cases} m\varepsilon \Omega^2 \cos(\Omega t) + F_x \\ m\varepsilon \Omega^2 \sin(\Omega t) + F_y \end{cases}$$

$$f_x = A \cos(\Omega t) + B \sin(\Omega t) = F(\Omega) e^{i\Omega t} + F^*(\Omega) e^{-i\Omega t}$$

$$F(\Omega) = \frac{A - iB}{2}$$

$$F(\Omega)_x = \frac{m\varepsilon \Omega^2}{2}$$

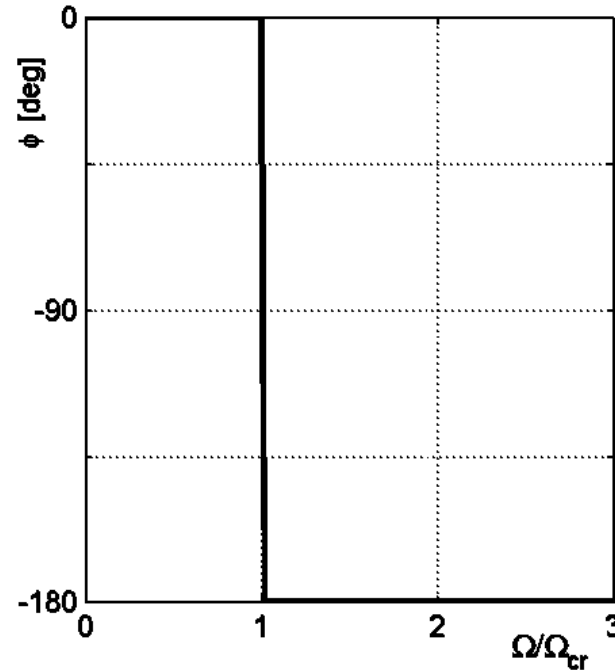
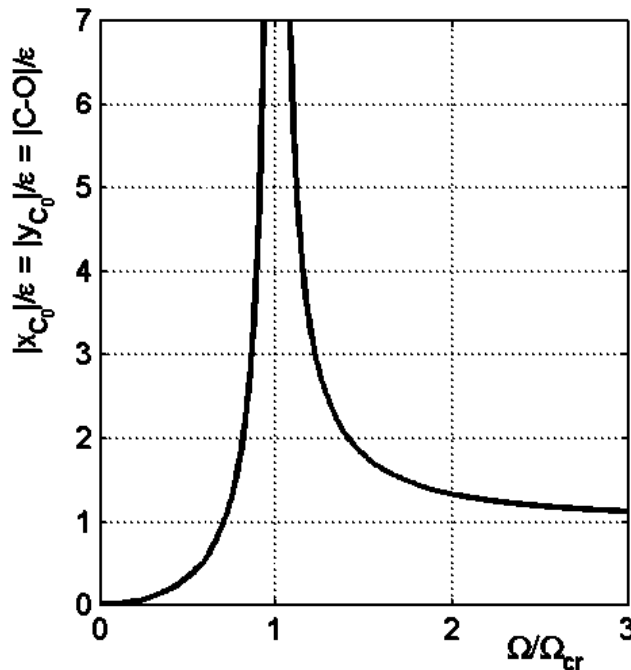
$$F(\Omega)_y = -i \frac{m\varepsilon \Omega^2}{2}$$

## ◆ Rotor de Jeffcott – Excitação de desbalanceamento

Se  $F_x = F_y = 0$  no domínio da frequência, temos:

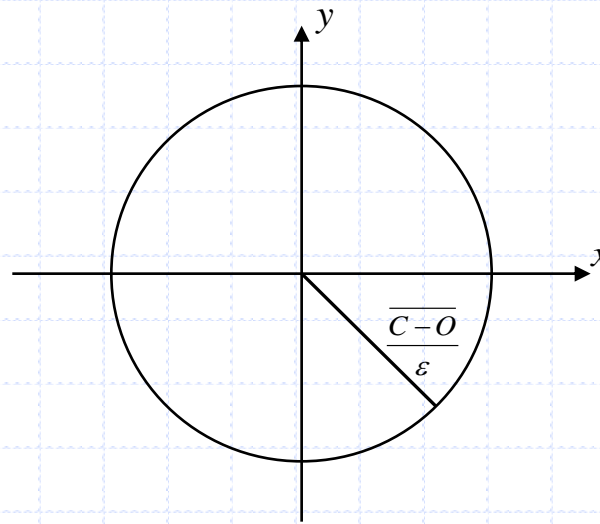
$$[-\Omega^2 M + K]Q(\Omega) = \left\{ \begin{array}{c} \frac{m\varepsilon \Omega^2}{2} \\ -i \frac{m\varepsilon \Omega^2}{2} \end{array} \right\}$$

$$|X_{c_0}(\Omega)| = |Y_{c_0}(\Omega)| = \frac{m\varepsilon \Omega^2}{k - m\Omega^2}$$



## ◆ Rotor de Jeffcott – Excitação de desbalanceamento

No tempo, o bamboleio é dado por uma circunferência



A amplitude é

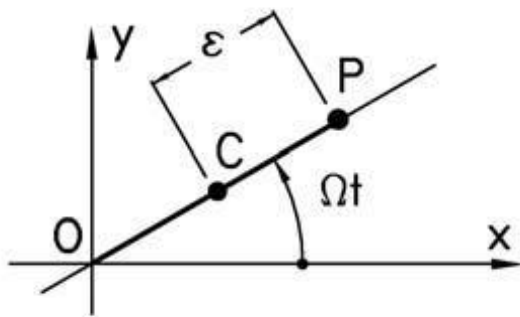
$$\begin{aligned}\frac{\overline{C-O}}{\varepsilon} &= \sqrt{(x_{C_0} \cos \Omega t)^2 + (y_{C_0} \sin \Omega t)^2} \\ &= \frac{x_{C_0}}{\varepsilon} = \frac{y_{C_0}}{\varepsilon} = \frac{\Omega^2 / \Omega_{cr}^2}{1 - \Omega^2 / \Omega_{cr}^2}\end{aligned}$$

$$\Omega_{cr} = \sqrt{\frac{k}{m}}$$

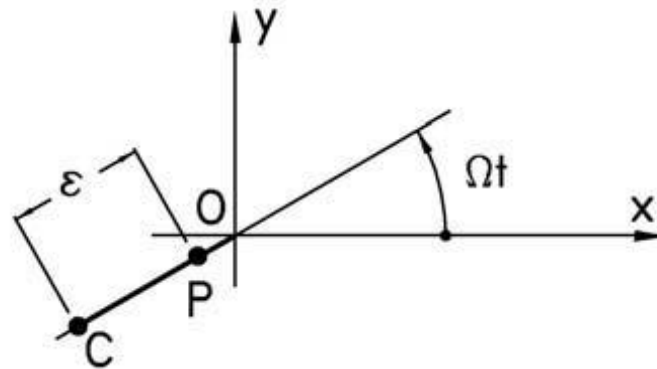
## ◆ Rotor de Jeffcott – Excitação de desbalanceamento

- Se  $\Omega < \Omega_{cr}$  a amplitude do bamboleio cresce a medida que  $\Omega$  aumenta;
- O ponto máximo de  $x_{C0}$  e  $y_{C0}$  ocorre quando  $\Omega = \Omega_{cr} \rightarrow$  tende para infinito;
- Se  $\Omega > \Omega_{cr}$  a amplitude tende a zero  $\rightarrow$  ponto mínimo de  $x_{C0}$  e  $y_{C0}$ .

a) Subcritical



b) Supercritical



## ◆ Rotor de Jeffcott – Coordenadas Complexas

Representando a posição do ponto c em variáveis complexas

$$r_C(t) = x_C(t) + iy_C(t)$$

A equação de movimento pode ser escrita da seguinte forma

$$m\ddot{r}_C(t) + k r_C(t) = m\varepsilon \Omega^2 e^{i\Omega t} + F_r(t)$$

Onde

$$F_r(t) = F_x(t) + iF_y(t)$$

## ◆ Rotor de Jeffcott – Vibração Livre

Definindo

$$r_c(t) = r_{c_0} e^{st}$$

e substituindo na equação de movimento

$$(ms^2 + k)r_{c_0} = 0$$

obtem-se:

$$s_{1,2} = \pm i \sqrt{\frac{k}{m}} = \pm i\Omega_n$$

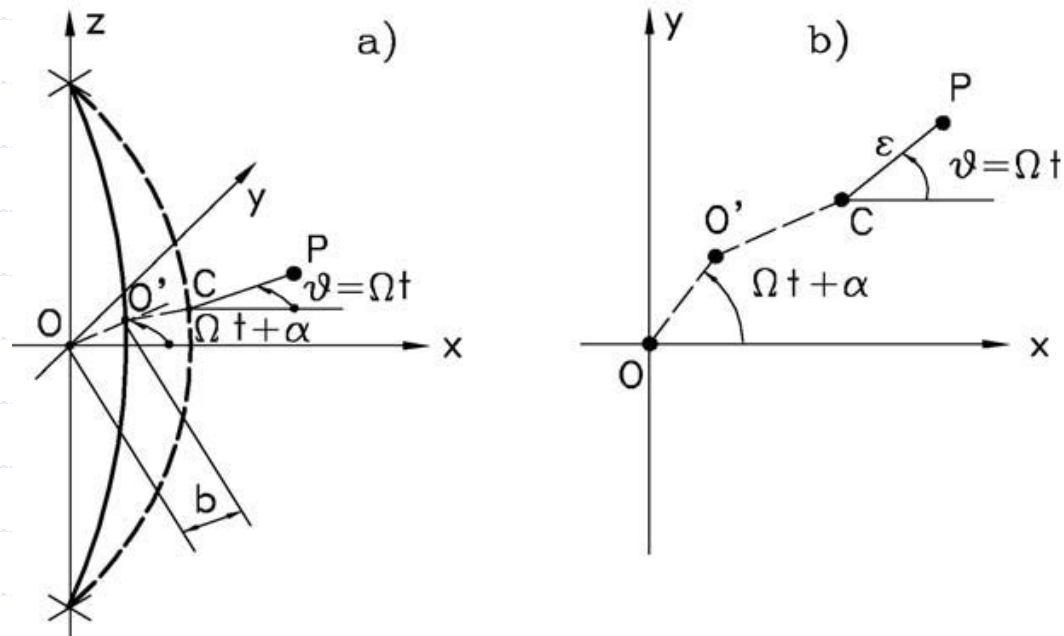
Consequentemente

$$r_c(t) = R_1 e^{i\Omega t} + R_2 e^{-i\Omega t}$$

com  $R_1$  e  $R_2$  não necessariamente conjugados complexos.

## ◆ Rotor de Jeffcott com Empeno

Considerando um eixo que está inicialmente com empeno, ponto  $O'$ , a posição  $OO'$  é dada por



onde  $b$  é o empeno do eixo.

$$\overline{O' - O} = \begin{Bmatrix} x_{O'} \\ y_{O'} \end{Bmatrix} = \begin{Bmatrix} b \cos(\Omega t + \alpha) \\ b \sin(\Omega t + \alpha) \end{Bmatrix}$$

## ◆ Rotor de Jeffcott com Empeno

A energia potencial será:

$$U = \frac{1}{2} k (\overline{C - O'})^2 = \frac{1}{2} k \left[ (x_c - b \cos(\Omega t + \alpha))^2 + (y_c - b \sin(\Omega t + \alpha))^2 \right]$$

ou

$$U = \frac{1}{2} k \left[ x_c^2 + y_c^2 + b^2 - 2b x_c \cos(\Omega t + \alpha) - 2y_c b \sin(\Omega t + \alpha) \right]$$

Aplicando a Equação de Lagrange

$$\begin{cases} m \ddot{x}_c(t) + k x_c(t) = kb \cos(\Omega t + \alpha) + m \varepsilon \Omega^2 \cos(\Omega t) + F_x \\ m \ddot{y}_c(t) + k y_c(t) = kb \sin(\Omega t + \alpha) + m \varepsilon \Omega^2 \sin(\Omega t) + F_y \end{cases}$$

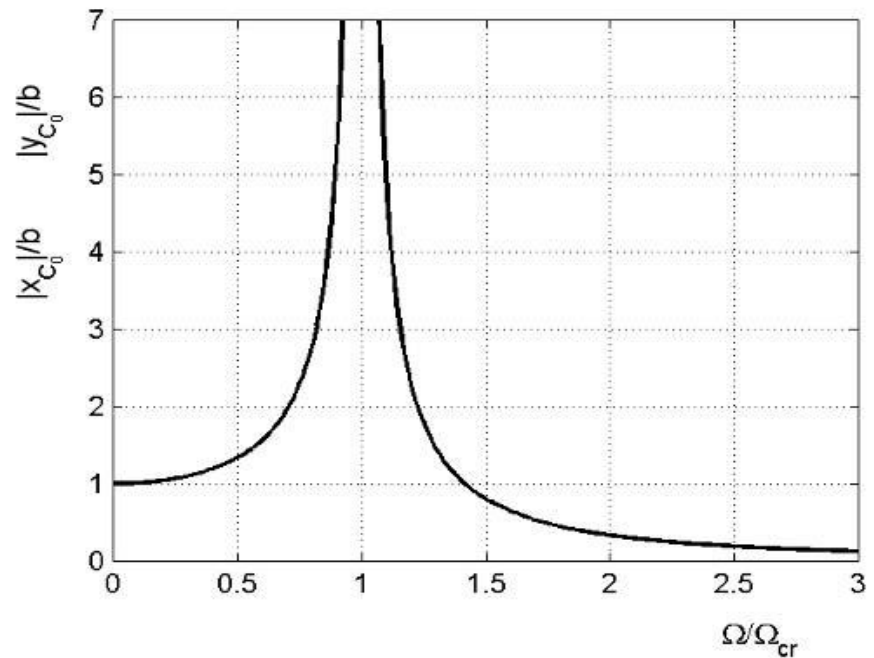
e, na forma complexa

$$m \ddot{r}_c + k r_c = kb e^{i\alpha} e^{i\Omega t} + m \varepsilon \Omega^2 e^{i\Omega t} + F_r(t)$$

## ◆ Rotor de Jeffcott com Empeno

Considerando apenas o empeno, a resposta será

$$r_C = b \frac{\Omega_{cr}^2}{\Omega_{cr}^2 - \Omega^2} e^{i\alpha} e^{i\Omega t}$$



Note que:

- Considerando apenas o empeno, quando  $\Omega \rightarrow \infty$  a resposta tende a zero;
- Quando  $\Omega \ll \Omega_{cr}$  o empeno tem predominância em relação ao desbalanceamento. Depois o efeito é nulo quando  $\Omega \ll \Omega_{cr}$ .

## ◆ Rotor de Jeffcott com Amortecimento

*Amortecimento não rotacional –  $c_{nr}$  (mancais ou similares)*

- Possui um efeito de estabilização em toda faixa de trabalho

*Amortecimento rotacional –  $c_r$  (amortecimento interno ou associado ao rotor)*

- Reduz a amplitude de vibração quando  $\Omega < \Omega_{cr}$  mas trabalhando com  $\Omega > \Omega_{cr}$  mostra um viés de instabilidade;

- Equação de movimento:

$$\begin{bmatrix} m & 0 \\ 0 & m \end{bmatrix} \begin{Bmatrix} \ddot{x}_c \\ \ddot{y}_c \end{Bmatrix} + \begin{bmatrix} c_{nr} + c_r & 0 \\ 0 & c_{nr} + c_r \end{bmatrix} \begin{Bmatrix} \dot{x}_c \\ \dot{y}_c \end{Bmatrix} + \left( \begin{bmatrix} k & 0 \\ 0 & k \end{bmatrix} + \Omega \begin{bmatrix} 0 & c_r \\ -c_r & 0 \end{bmatrix} \right) \begin{Bmatrix} x_c \\ y_c \end{Bmatrix} =$$
$$= \begin{Bmatrix} m\varepsilon \Omega^2 \cos(\Omega t) \\ m\varepsilon \Omega^2 \sin(\Omega t) \end{Bmatrix} + \begin{Bmatrix} F_x \\ F_y \end{Bmatrix}$$

## ◆ Rotor de Jeffcott com Amortecimento – Vibração Livre

- Em notação complexa

$$m\ddot{r}_C + (c_r + c_{nr})\dot{r}_C + (k - ic_r\Omega)r_C = m\varepsilon \Omega^2 e^{i\Omega t} + F_r(t)$$

$$r_C = r_{C_0} e^{st}$$

- A equação característica se torna:

$$ms^2 + (c_{nr} + c_r)s + k - i\Omega c_r = 0$$

- A solução é dada por:  $s = \sigma + i\omega$

$$s_{1,2} = -\frac{c_{nr} + c_r}{2m} \pm \sqrt{\frac{(c_r + c_{nr})^2 - 4m(k - i\Omega c_r)}{4m^2}}$$

## ◆ Rotor de Jeffcott com Amortecimento – Vibração Livre

- As soluções são:

$$\sigma_{1,2} = -\frac{c_{nr} + c_r}{2m} \pm \frac{1}{\sqrt{2}} \sqrt{\sqrt{\Gamma^2 + \left(\frac{\Omega c_r}{m}\right)^2} - \Gamma}$$

$$\omega_{1,2} = \pm \frac{1}{\sqrt{2}} \sqrt{\sqrt{\Gamma^2 + \left(\frac{\Omega c_r}{m}\right)^2} - \Gamma}$$

- Onde:

$$\Gamma = \frac{k}{m} - \frac{(c_r + c_{nr})^2}{4m^2}$$

## ◆ Rotor de Jeffcott com Amortecimento – Vibração Livre

- O sinal de  $\sigma$  pode ser positivo ou negativo, levando a um sistema estável ou instável, respectivamente:

$$\Omega < \sqrt{\frac{k}{m} \left( 1 + \frac{c_{nr}}{c_r} \right)} \longrightarrow \text{Estável}$$

- Velocidade subcrítica: em geral estável;
- Velocidade supercrítica: dependendo de  $c_r$  o sistema pode se tornar instável;

- Se

$$c_{nr} = 0 \Rightarrow \Omega = \sqrt{\frac{k}{m}} \longrightarrow \text{Instável}$$

- $c_{nr}$  restringe a instabilidade provocada por  $c_r$ .

## ◆ Rotor de Jeffcott com Amortecimento – Vibração Livre

- As equações das soluções podem ser reescritas na forma não dimensional:

$$\begin{cases} \sigma^* = -(\zeta_r + \zeta_{nr}) \pm \sqrt{\sqrt{\Gamma^{*2} + \Omega^{*2}} \zeta_r^2 - \Gamma^*} \\ \omega^* = \pm \operatorname{sgn}(\Omega^*) \sqrt{\sqrt{\Gamma^{*2} + \Omega^{*2}} \zeta_r^2 - \Gamma^*} \end{cases}$$

- Onde:

$$\omega^* = \omega / \sqrt{k/m}$$

$$\sigma^* = \sigma / \sqrt{k/m}$$

$$\Omega^* = \Omega / \sqrt{k/m}$$

$$\Gamma^* = \left[ 1 - (\zeta_{nr} + \zeta_r)^2 \right] / 2$$

$$\zeta_r = cr / 2\sqrt{km}$$

$$\zeta_{nr} = c_n / 2\sqrt{km}$$

◆ Rotor de Jeffcott com Amortecimento – Diagrama de Campbell

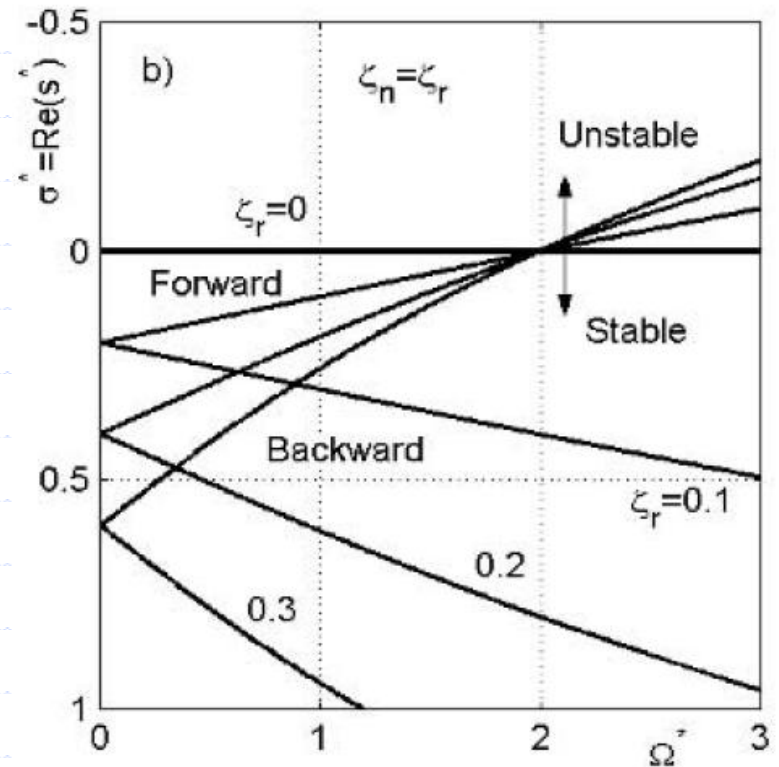
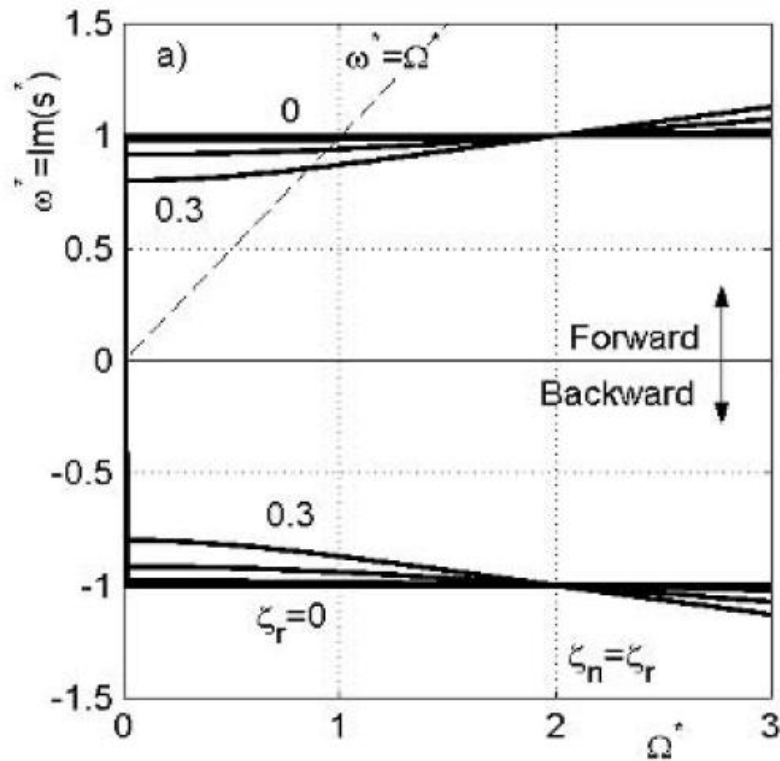


Diagrama de Campbell

## ◆ Rotor de Jeffcott com amortecimento – Desbalanceamento

- Para levar em conta o desbalanceamento devemos recorrer à seguinte equação:

$$m\ddot{r}_C + (c_r + c_{nr})\dot{r}_C + (k - ic_r\Omega)r_C = m\varepsilon \Omega^2 e^{i\Omega t} + F_r(t)$$

- Em coordenadas complexas, a resposta ao desbalanceamento é:

$$r_C = r_{C_0} e^{i\Omega t}$$

- Com isso:

$$r_{C_0} (-m\Omega^2 + i\Omega c_{nr} + k) = m\varepsilon\Omega^2$$

## ◆ Rotor de Jeffcott com amortecimento – Desbalanceamento

- A amplitude  $r_{C_0}$  é complexa e pode ser separada em sua parte real e imaginária:

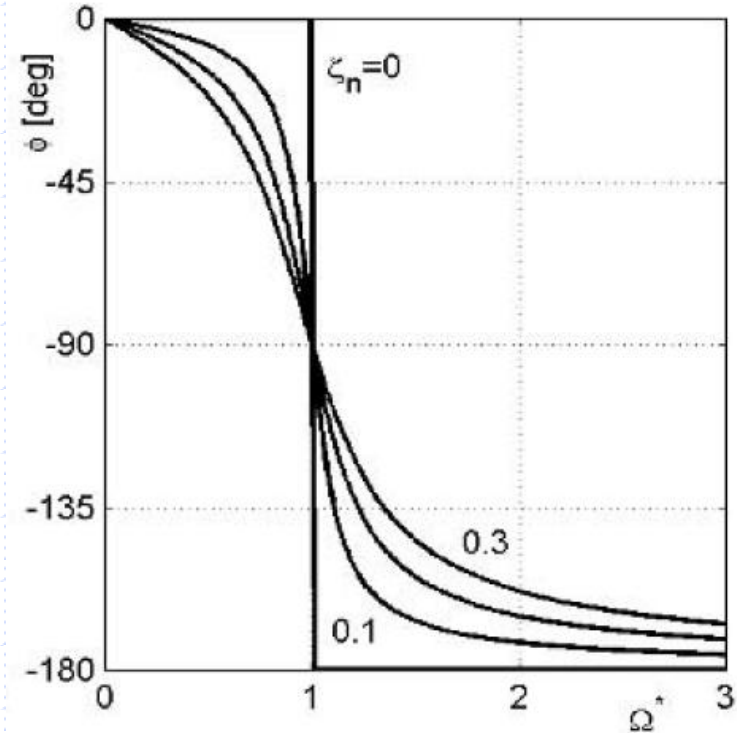
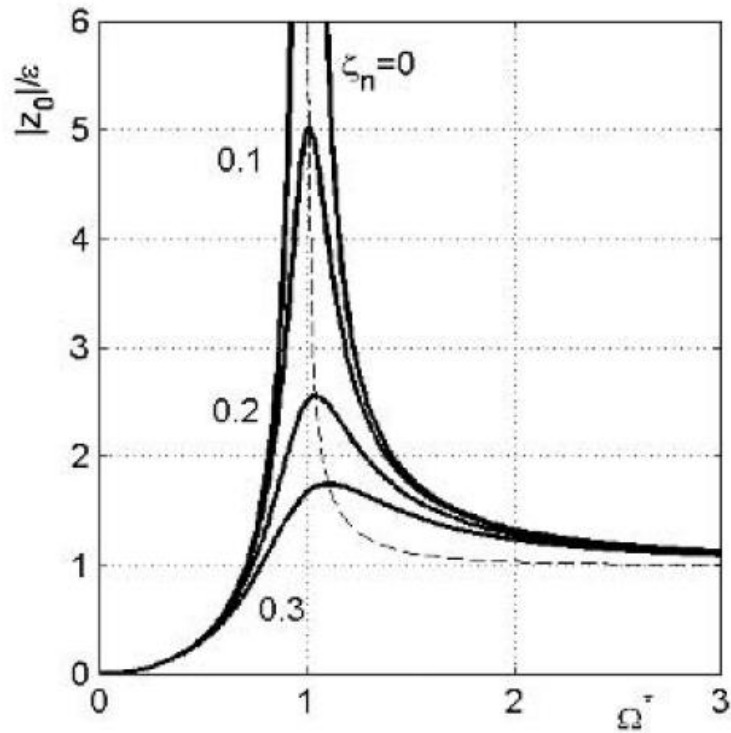
$$\operatorname{Re}(r_{C_0}) = \frac{m\varepsilon\Omega^2(k - m\Omega^2)}{(k - m\Omega^2)^2 + \Omega^2 c_{nr}^2} = \varepsilon \frac{\Omega^{*2} (1 - \Omega^{*2})}{(1 - \Omega^{*2})^2 + 4\zeta_{nr}^2 \Omega^{*2}}$$

$$\operatorname{Im}(r_{C_0}) = -\frac{m\varepsilon\Omega^3 c_{nr}}{(k - m\Omega^2)^2 + \Omega^2 c_{nr}^2} = -\varepsilon \frac{2\Omega^{*3} \zeta_{nr}}{(1 - \Omega^{*2})^2 + 4\zeta_{nr}^2 \Omega^{*2}}$$

$$|r_{C_0}| = \varepsilon \frac{\Omega^{*2}}{\sqrt{(1 - \Omega^{*2})^2 + 4\zeta_{nr}^2 \Omega^{*2}}}$$

$$\Phi = \arctan\left(\frac{-2\Omega^{*} \zeta_{nr}}{1 - \Omega^{*2}}\right)$$

## ◆ Rotor de Jeffcott com amortecimento – Desbalanceamento



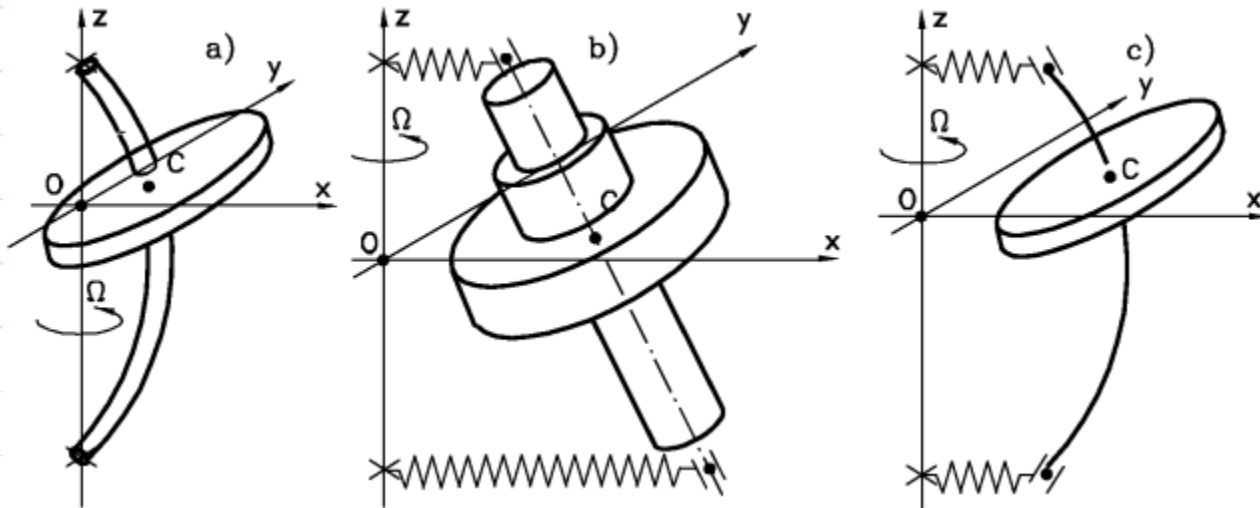
Resposta ao desbalanceamento de um Rotor de Jeffcott com amortecimento: amplitude adimensional ( $|rc_0/\varepsilon|$ ) e fase ( $\phi$ ) versus rotação adimensional ( $\Omega/\Omega_n$ )



# DINÂMICA DE ROTORES MODELO COM 4 GRAUS DE LIBERDADE

## ◆ Modelo de Quatro Graus de Liberdade (4GL)

- Rotor de Jeffcott;
- Inclusão do Efeito Girsocópico;
- Inclusão da Inércia translacional ( $J_t$ ) e polar ( $J_p$ ) no modelo.



# ◆ Modelo de 4GL: Coordenadas Generalizadas

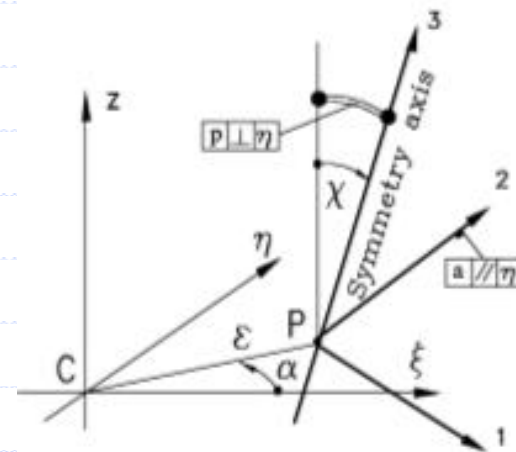
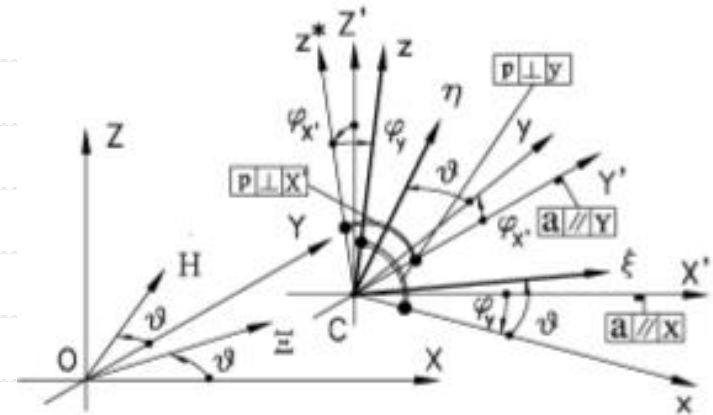
## Coordenadas generalizadas

$$R_1 = \begin{bmatrix} 1 & 0 & 0 \\ 0 & \cos \phi_{x'} & \sin \phi_{x'} \\ 0 & -\sin \phi_{x'} & \cos \phi_{x'} \end{bmatrix}$$

$$R_2 = \begin{bmatrix} \cos \phi_y & 0 & -\sin \phi_y \\ 0 & 1 & 0 \\ \sin \phi_y & 0 & \cos \phi_y \end{bmatrix}$$

$$R_3 = \begin{bmatrix} \cos \theta & \sin \theta & 0 \\ -\sin \theta & \cos \theta & 0 \\ 0 & 0 & 1 \end{bmatrix}$$

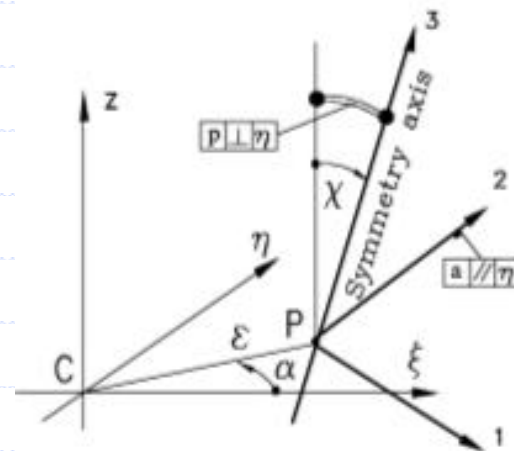
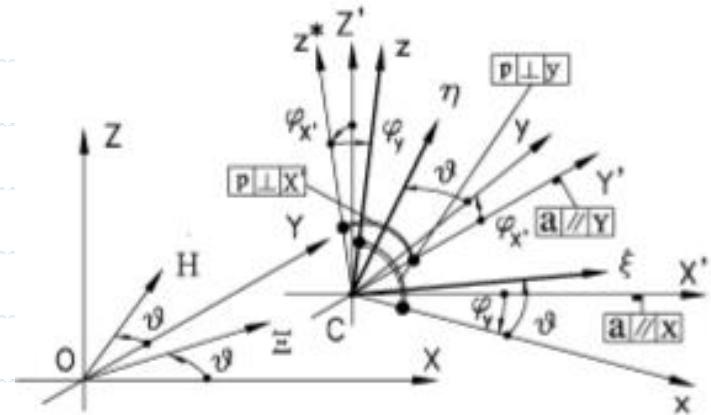
onde  $\theta = \Omega t$



## ◆ Modelo de 4GL: Coordenadas Generalizadas

Considera-se que os eixos principais, dados por P123, estão representados por  $J_p$ . Assume-se que  $J_p$  está no plano  $\xi z$ . O desbalanceamento estático está dado pela distância PC (com módulo  $\varepsilon$  e defasagem  $\alpha$ ). Para considerar um desbalanceamento dinâmico, considera-se que o  $J_p$  se desloca angularmente  $\chi$  de  $\eta$ . Assim, a quarta matriz  $R_4$  que permite a transformação do sistema C $\xi\eta z$  para os eixos principais de inércia, P123, é dada por

$$R_4 = \begin{bmatrix} \cos \chi & 0 & -\sin \chi \\ 0 & 1 & 0 \\ \sin \chi & 0 & \cos \chi \end{bmatrix}$$



## ◆ Modelo de 4GL: Coordenadas Generalizadas

A velocidade do centro de gravidade P e a velocidade angular expressada a partir do sistema principal de inercia devem ser calculadas para achar a energia cinética do corpo rígido.

Para tal, a posição do ponto P é dada por:

$$\overline{PO} = \begin{Bmatrix} X \\ Y \\ Z \end{Bmatrix} + R_1^T R_2^T R_3^T \begin{Bmatrix} \varepsilon_\xi \\ \varepsilon_\eta \\ 0 \end{Bmatrix}$$

ou

$$\overline{PO} = \begin{Bmatrix} X + \varepsilon \cos(\theta + \alpha) \\ Y + \varepsilon \sin(\theta + \alpha) \\ Z + \varepsilon [\phi_x \sin(\theta + \alpha) - \phi_y \cos(\theta + \alpha)] \end{Bmatrix}$$

## ◆ Modelo de 4GL: Energia Cinética

- A energia cinética do sistema é dada por:

$$T = T_t + T_r = \left( \frac{1}{2} m V_P^2 \right) + \left( \frac{1}{2} \Omega_{123}^T J \Omega'_{123} \right)$$

- Onde:

- $V_p$  é o vetor de velocidade no centro de massa do rotor;
- $\Omega'_{123}$  é o vetor de velocidade angular;
- $J$  é a matriz de inércia, dada por:

$$[J] = \begin{bmatrix} J_t & 0 & 0 \\ 0 & J_t & 0 \\ 0 & 0 & J_p \end{bmatrix}$$

## ◆ Modelo de 4GL: Energia Cinética

Como a velocidade de PO é dada por

$$V_P = \left\{ \begin{array}{l} \dot{X} - \varepsilon \Omega \sin(\theta + \alpha) \\ \dot{Y} + \varepsilon \Omega \cos(\theta + \alpha) \\ \dot{Z} + \varepsilon \left[ (\Omega \phi_{X'} - \dot{\phi}_y) \cos(\theta + \alpha) + (\Omega \phi_y - \dot{\phi}_{X'}) \sin(\theta + \alpha) \right] \end{array} \right\}$$

Assim, a energia cinética de translação é dada por:

$$T_t = \frac{1}{2} m \left\{ \dot{X}^2 + \dot{Y}^2 + \dot{Z}^2 + \varepsilon^2 \Omega^2 + 2\varepsilon \Omega \left[ -\dot{X} \sin(\Omega t + \alpha) + \dot{Y} \cos(\Omega t + \alpha) \right] \right\}$$

## ◆ Modelo de 4GL: Energia Cinética

Para calcular a energia cinética associada com a velocidade angular, primeiro devemos escrever o vetor velocidade angular:

$$\Omega'_{123} = R_4 \left[ R_3 \left( R_2 \begin{Bmatrix} \dot{\phi}_{X'} \\ 0 \\ 0 \end{Bmatrix}_{X'Y'Z'} + \begin{Bmatrix} 0 \\ \dot{\phi}_y \\ 0 \end{Bmatrix}_{xyz} \right) + \begin{Bmatrix} 0 \\ 0 \\ \dot{\theta} \end{Bmatrix}_{\xi\eta z} \right]$$

ou

$$\Omega'_{123} = \begin{Bmatrix} \dot{\phi}_{X'} \cos \theta + \dot{\phi}_y \sin \theta - \chi \Omega \\ -\dot{\phi}_{X'} \sin \theta + \dot{\phi}_y \cos \theta \\ \dot{\phi}_{X'} [\chi \cos \theta + \phi_y] + \phi_y \chi \sin \theta + \Omega \end{Bmatrix}$$

## ◆ Modelo de 4GL: Energia Cinética

Assim, a energia cinética associada com a velocidade angular será

$$T_r = \frac{1}{2} \left\{ J_t (\dot{\phi}_x^2 + \dot{\phi}_y^2 + \chi^2 \Omega^2) + J_p (\Omega^2 + 2\Omega \dot{\phi}_x \phi_y) + 2\Omega \chi (J_p - J_t) [\dot{\phi}_x \cos \theta + \dot{\phi}_y \sin \theta] \right\}$$

## ◆ Modelo de 4GL: Energia Potencial

- A energia potencial do sistema é dada por:

$$U = \frac{1}{2} \begin{Bmatrix} X \\ \phi_y \end{Bmatrix}^T K_{xz} \begin{Bmatrix} X \\ \phi_y \end{Bmatrix} + \frac{1}{2} \begin{Bmatrix} Y \\ \phi_{X'} \end{Bmatrix}^T K_{yz} \begin{Bmatrix} Y \\ \phi_{X'} \end{Bmatrix}$$

- Onde:

- $K_{xz}$  e  $K_{yz}$  são obtidos por análise de tensões ou por MEF e são representados por

$$K_{xz} = \begin{bmatrix} K_{11} & K_{12} \\ K_{12} & K_{22} \end{bmatrix} \quad K_{yz} = \begin{bmatrix} K_{11} & -K_{12} \\ -K_{12} & K_{22} \end{bmatrix}$$

- $\phi$  representa o deslocamento angular
- X e Y representam os deslocamentos nas respectivas direções;

## ◆ Modelo de 4GL: Equação de Movimento

- Aplicando a Equação de Lagrange nas Energias Potencial e Cinética, chega-se as seguintes equações para um rotor de 4GL não amortecido:

$$m\ddot{X} + K_{11}X + K_{12}\phi_y = m\varepsilon\Omega^2 \cos(\Omega t)$$

$$m\ddot{Y} + K_{11}Y + K_{12}\phi_{X'} = m\varepsilon\Omega^2 \sin(\Omega t)$$

$$J_t\ddot{\phi}_{X'} + J_p\Omega\dot{\phi}_y - K_{12}Y + K_{22}\phi_{X'} = -\chi\Omega^2 (J_t - J_p)\sin(\Omega t)$$

$$J_t\ddot{\phi}_y - J_p\Omega\dot{\phi}_{X'} + K_{12}X + K_{22}\phi_y = \chi\Omega^2 (J_t - J_p)\cos(\Omega t)$$

- Onde  $\chi$  é o erro angular entre os eixos de corpo rígido e de rotação, e  $\varepsilon$  é a excentricidade entre os centro geométrico e de massa;

## ◆ Modelo de 4GL: Equação de Movimento

Simplificadamente:

$$[M]\{\ddot{q}\} + [G(\Omega)]\{\dot{q}\} + [K]\{q\} = \{f\}$$

Adicionando amortecimento via função de Rayleigh, tem-se:

$$[M]\{\ddot{q}\} + [C + G(\Omega)]\{\dot{q}\} + [K]\{q\} = \{f\}$$

não é considerado o amortecimento rotacional.

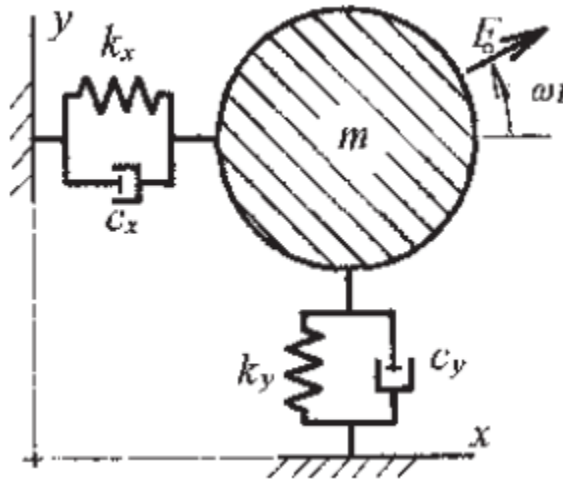
Matricialmente:

$$\begin{bmatrix} m & 0 & 0 & 0 \\ 0 & J_t & 0 & 0 \\ 0 & 0 & m & 0 \\ 0 & 0 & 0 & J_t \end{bmatrix} \begin{Bmatrix} \ddot{X} \\ \ddot{\phi}_{X'} \\ \ddot{Y} \\ \ddot{\phi}_y \end{Bmatrix} + \Omega \begin{bmatrix} 0 & 0 & 0 & 0 \\ 0 & 0 & 0 & -J_p \\ 0 & 0 & 0 & 0 \\ 0 & J_p & 0 & 0 \end{bmatrix} \begin{Bmatrix} \dot{X} \\ \dot{\phi}_{X'} \\ \dot{Y} \\ \dot{\phi}_y \end{Bmatrix} + \begin{bmatrix} K_{11} & K_{12} & 0 & 0 \\ K_{12} & K_{22} & 0 & 0 \\ 0 & 0 & K_{11} & -K_{12} \\ 0 & 0 & -K_{12} & K_{22} \end{bmatrix} \begin{Bmatrix} X \\ \phi_{X'} \\ Y \\ \phi_y \end{Bmatrix} = \Omega^2 \begin{Bmatrix} m\varepsilon \cos(\Omega t + \alpha) \\ \chi(J_t - J_p) \cos(\Omega t) \\ m\varepsilon \sin(\Omega t + \alpha) \\ -\chi(J_t - J_p) \sin(\Omega t) \end{Bmatrix}$$



## 3.1 SISTEMAS GIRANTES – SLIDES EXTRAS – LIVRO ADAMS

## ◆ Modelo Linear Simples



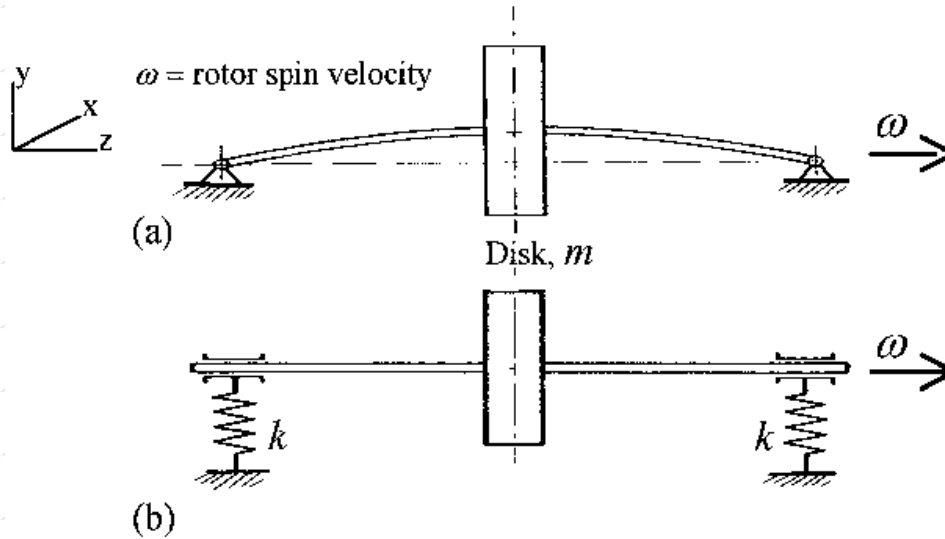
$$\begin{cases} m\ddot{x} + c_x\dot{x} + k_x x = F_0 \cos(\omega t) \\ m\ddot{y} + c_y\dot{y} + k_y y = F_0 \sin(\omega t) \end{cases}$$

- Matricialmente:

$$\begin{bmatrix} m & 0 \\ 0 & m \end{bmatrix} \begin{Bmatrix} \ddot{x} \\ \ddot{y} \end{Bmatrix} + \begin{bmatrix} c_x & 0 \\ 0 & c_y \end{bmatrix} \begin{Bmatrix} \dot{x} \\ \dot{y} \end{Bmatrix} + \begin{bmatrix} k_x & 0 \\ 0 & k_y \end{bmatrix} \begin{Bmatrix} x_C \\ y_C \end{Bmatrix} = \begin{Bmatrix} F_x \\ F_y \end{Bmatrix}$$

- Em geral  $c_{xy}/c_{yx}$  são  $\neq 0$ , assim como  $k_{xy}/k_{yx}$ .

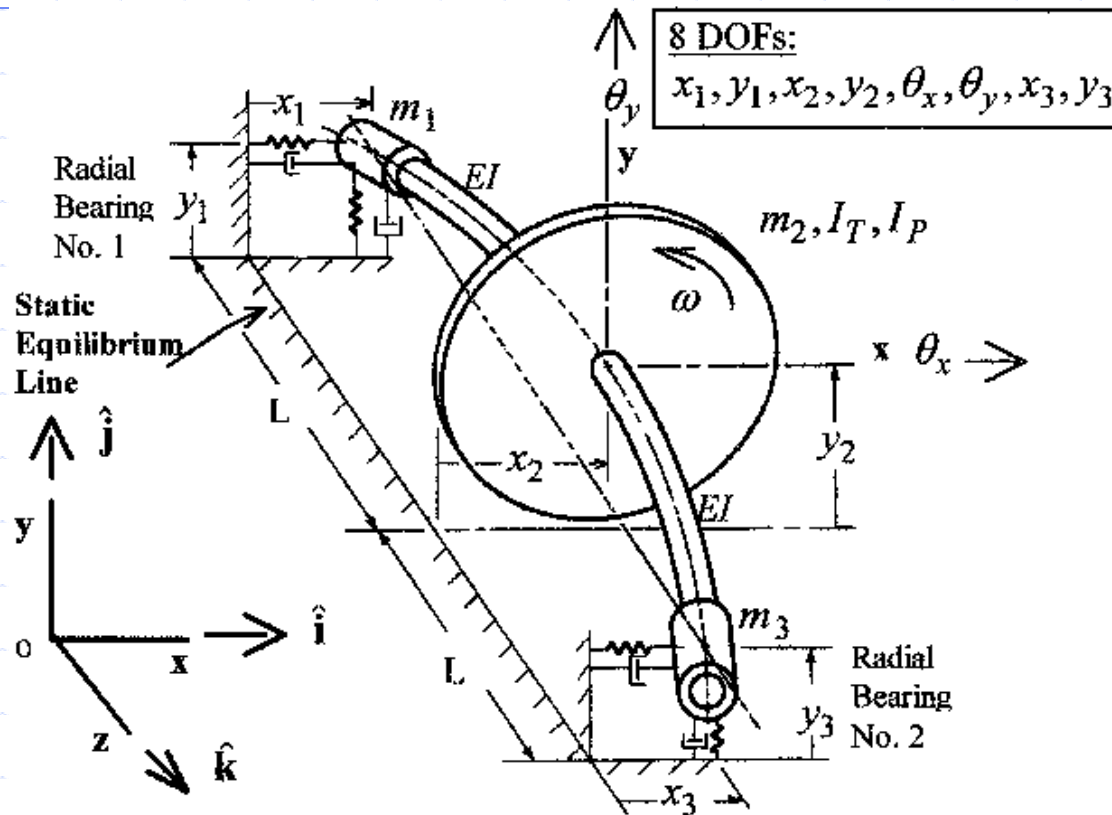
## ◆ Modelo Linear Simples



- Figura Jeffcott com disco central

$$k_x = k_y = \frac{48EI}{L^3}$$

◆ Modelo simples com rigidez nos mancais



- Equação de Lagrange

$$\frac{d}{dt} \left( \frac{\partial L}{\partial \dot{q}_i} \right) - \frac{\partial L}{\partial q_i} = Q_i, \quad \text{com } i = 1 \text{ à } n \text{ graus de liberdade}$$

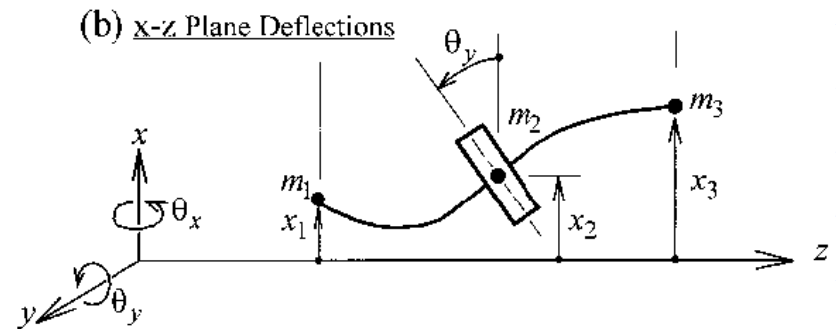
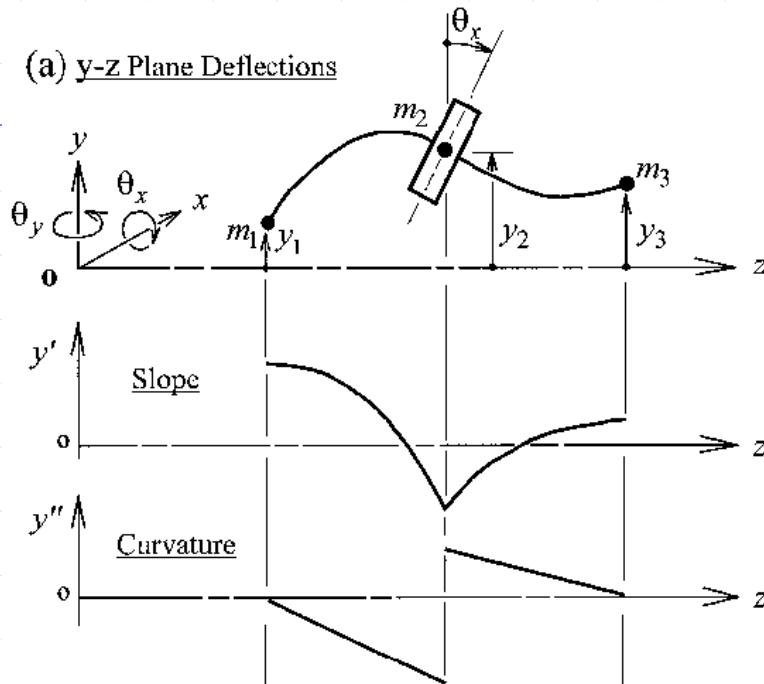
## ◆ Energia Potencial

$$U = \int_0^{2L} \frac{M_{xz}^2 + M_{yz}^2}{2EI} dz$$

- Onde:  $M_{xz} = EIx''$   
 $M_{yz} = Ely''$

e  $E$  é o módulo de Young (Elasticidade) e  $I$  é o momento de inércia de 2ª ordem.

## ◆ Energia Potencial – Cálculo de $x''$ e $y''$



Com  $z = 0 \rightarrow L$

$$x = az^3 + bz + c$$

$$x' = 3az^2 + b$$

$$x'' = 6az$$

- Condições de contorno

$$x(0) = x_1 = c$$

$$x(L) = x_2 = aL^3 + bL + x_1$$

$$x'(L) = \theta_y = 3aL^2 + b$$

$$\theta_x = \theta_y \ll 1 \Rightarrow \tan \theta_x \cong \theta_x; \tan \theta_y \cong \theta_y$$

◆ Energia Potencial – Cálculo de  $x''$  e  $y''$

• Assim, para  $z = 0 \rightarrow L$

$$\begin{cases} x'' = \frac{3}{L^3} (x_1 - x_2 + \theta_y L) z \\ y'' = \frac{3}{L^3} (y_1 - y_2 - \theta_x L) z \end{cases}$$

Com  $z = L \rightarrow 2L$

$$x = a(2L - z)^3 + b(2L - z) + c$$

$$x' = -3a(2L - z)^2 - b$$

$$x'' = 6a(2L - z)$$

• Condições de contorno

$$x(2L) = x_3 = c$$

$$x(L) = x_2 = L^3 + bL + x_3$$

$$x'(L) = \theta_y = -3aL^2 - b$$

◆ Energia Potencial – Cálculo de  $x''$  e  $y''$

- Para  $z = L \rightarrow 2L$  
$$\begin{cases} x'' = \frac{3}{L^3} (x_3 - x_2 - \theta_y L)(2L - z) \\ y'' = \frac{3}{L^3} (y_3 - y_2 - \theta_x L)(2L - z) \end{cases}$$

- Assim,

$$U = \frac{EI}{2} \int_0^L [x''^2 + y''^2] dz + \int_L^{2L} [x''^2 + y''^2] dz$$

$$U = \frac{3EI}{2L^3} \left( x_1^2 + 2x_2^2 + x_3^2 - 2x_1x_2 - 2x_2x_3 - 2x_1\theta_y L - 2x_3\theta_y L + 2\theta_y^2 L^2 + \right. \\ \left. y_1^2 + 2y_2^2 + y_3^2 - 2y_1y_2 - 2x_2x_3 - 2y_1\theta_x L - 2y_3\theta_x L + 2\theta_x^2 L^2 \right)$$

## ◆ Energia Cinética

- Cálculo da Energia Cinética ( $T$ ) de  $m_1$ ,  $m_2$  e do disco em seu centro de massa ( $G = 0$ )

$$T = \frac{1}{2} \left[ m_1 (\dot{x}_1^2 + \dot{y}_1^2) + m_2 (\dot{x}_2^2 + \dot{y}_2^2) + I_T (\dot{\theta}_x^2 + \dot{\theta}_y^2) + m_3 (\dot{x}_3^2 + \dot{y}_3^2) \right]$$

- Onde:  $I_T = \frac{1}{4} m_2 R^2$      $I_P = \frac{1}{2} m_2 R^2$

- As forças generalizadas devido aos mancais:

$$f_x^{(n)} = -k_{xx}^{(n)} x - k_{xy}^{(n)} y - c_{xx}^{(n)} \dot{x} - c_{xy}^{(n)} \dot{y}$$

$$f_y^{(n)} = -k_{yx}^{(n)} x - k_{yy}^{(n)} y - c_{yx}^{(n)} \dot{x} - c_{yy}^{(n)} \dot{y}$$

com  $n = 1$  a 2 mancais.

## ◆ Energia Cinética – Efeito Giroscópico

- Sabe-se que:

$$\dot{\vec{H}} = \vec{M}$$

A variação na quantidade de movimento angular é igual a soma dos momentos provocados pelas forças externas

- Sendo

$$\vec{H} = I_T \dot{\theta}_x \vec{i} + I_T \dot{\theta}_y \vec{j} + I_P \omega \vec{k}$$

o momento angular com  $\omega$  constante.

- Para considerar a precessão do eixo do disco, considera-se a velocidade angular

$$\vec{\Omega} = \dot{\theta}_x \vec{i} + \dot{\theta}_y \vec{j}$$

## ◆ Energia Cinética – Efeito Giroscópico

- Considerando uma porção de  $\dot{\vec{H}}$  diferenciando  $\dot{\theta}_x$  e  $\dot{\theta}_y$  e outra porção diferenciando o vetor base  $(\vec{i}, \vec{j}, \vec{k})$ , a variação de  $\dot{\vec{H}}$  é dada por:

$$\dot{\vec{H}} = \dot{\vec{H}}_{\Omega} + \bar{\Omega} \times \bar{H}$$

- Como

$$\dot{\vec{H}}_{\Omega} = I_T \ddot{\theta}_x \vec{i} + I_T \ddot{\theta}_y \vec{j}$$

- Já que  $\omega$  constante, e

$$\bar{\Omega} \times \bar{H} = I_p \omega \dot{\theta}_y \vec{i} - I_p \omega \dot{\theta}_x \vec{j}$$

- Assim,

$$\begin{aligned} M_x &= I_T \ddot{\theta}_x + I_P \omega \dot{\theta}_y \\ M_y &= I_T \ddot{\theta}_y - I_P \omega \dot{\theta}_x \end{aligned} \quad \text{ou} \quad \begin{cases} M_x - I_P \omega \dot{\theta}_y = I_T \ddot{\theta}_x \\ M_y + I_P \omega \dot{\theta}_x = I_T \ddot{\theta}_y \end{cases}$$

## ◆ Energia Cinética (Forma alternativa) – Método Lagrangeano

- A energia cinética do centro de massa do disco devido a rotação é

$$T_{rot} = \frac{1}{2} (I_{xx} \omega_x^2 + I_{yy} \omega_y^2 + I_{zz} \omega_z^2)$$

- Por outro lado, esta expressão não pode ser usada na Equação de Lagrange devido a que  $\omega_x$ ,  $\omega_y$  e  $\omega_z$  não são diferenciáveis em relação ao tempo em nenhuma das três coordenadas angulares que poderiam especificar a posição angular do eixo.
- *Esta orientação é dada pelos ângulos de Euler.*
- Hipóteses:

$$I_{xx} = I_{yy} = I_T \quad \vec{i}, \vec{j}, \vec{k} \Rightarrow \text{termos fixos ao disco (rotacionando)}$$
$$\theta_x = \theta_y \ll 1 \quad \vec{I}, \vec{J}, \vec{K} \Rightarrow \text{termos inerciais não rotacionais (fixo)}$$

## ◆ Energia Cinética (Forma alternativa) – Método Lagrangeano

- Ângulos de Euler:

$\Rightarrow \vec{i}, \vec{j}, \vec{k}$  alinhados com  $\vec{I}, \vec{J}, \vec{K}$

$\Rightarrow$  rotacionar o disco em  $\theta_y$  (i.e.  $\vec{i} \vec{k}$  sobre  $\vec{j} = \vec{J}$ )

$\Rightarrow \vec{i} \vec{j} \vec{k} \rightarrow \vec{i}' \vec{j}' \vec{k}'$  ( $\vec{j}' = \vec{j} = \vec{J}$ )

$\Rightarrow$  rotacionar o disco em  $\theta_x$  sobre o eixo  $x$  (i.e.  $\vec{j}' \vec{k}'$  sobre  $\vec{i}'$ )

$\Rightarrow \vec{i}' \vec{j}' \vec{k}' \rightarrow \vec{i}'' \vec{j}'' \vec{k}''$  ( $\vec{i}'' = \vec{i}'$ )

$\Rightarrow$  rotacionar o disco em  $\phi$  (i.e.  $\vec{i}'' \vec{j}''$  sobre  $\vec{k}''$ )

$\Rightarrow \vec{i}'' \vec{j}'' \vec{k}'' \rightarrow \vec{i} \vec{j} \vec{k}$  ( $\vec{k}'' = \vec{k}$ )

## ◆ Energia Cinética (Forma alternativa) – Método Lagrangeano

- Definindo o vetor de velocidade angular como

$$\vec{\omega}_{total} = \dot{\theta}_y \vec{J} + \dot{\theta}_x \vec{i}' + \omega \vec{k}$$

e  $\omega = \dot{\phi}$

$$\begin{Bmatrix} \vec{i}' \\ \vec{j}' \\ \vec{k}' \end{Bmatrix} = \begin{bmatrix} \cos \theta_y & 0 & -\sin \theta_y \\ 0 & 1 & 0 \\ \sin \theta_y & 0 & \cos \theta_y \end{bmatrix} \begin{Bmatrix} \vec{I} \\ \vec{J} \\ \vec{K} \end{Bmatrix} \quad \begin{Bmatrix} \vec{i}'' \\ \vec{j}'' \\ \vec{k}'' \end{Bmatrix} = \begin{bmatrix} 1 & 0 & 0 \\ 0 & \cos \theta_x & \sin \theta_x \\ 0 & -\sin \theta_x & \cos \theta_x \end{bmatrix} \begin{Bmatrix} \vec{i}' \\ \vec{j}' \\ \vec{k}' \end{Bmatrix}$$

$$\begin{Bmatrix} \vec{i} \\ \vec{j} \\ \vec{k} \end{Bmatrix} = \begin{bmatrix} \cos \phi & \sin \phi & 0 \\ -\sin \phi & \cos \phi & 0 \\ 0 & 0 & 1 \end{bmatrix} \begin{Bmatrix} \vec{i}'' \\ \vec{j}'' \\ \vec{k}'' \end{Bmatrix}$$

## ◆ Energia Cinética (Forma alternativa) – Método Lagrangeano

- Ou seja:

$$\begin{Bmatrix} \vec{i} \\ \vec{j} \\ \vec{k} \end{Bmatrix} = \underbrace{\begin{bmatrix} R_\phi & R_{\theta_x} & R_{\theta_y} \end{bmatrix}}_{[R]} \begin{Bmatrix} \vec{I} \\ \vec{J} \\ \vec{K} \end{Bmatrix}$$

- Como  $[R]$  é ortogonal  $\rightarrow [R]^{-1} = [R]^T$

$$\begin{Bmatrix} \vec{I} \\ \vec{J} \\ \vec{K} \end{Bmatrix} = [R]^T \begin{Bmatrix} \vec{i} \\ \vec{j} \\ \vec{k} \end{Bmatrix}$$

## ◆ Energia Cinética (Forma alternativa) – Método Lagrangeano

- Assim, obtêm-se

$$\vec{J} = (\sin \phi \cos \theta_x) \vec{i} + (\cos \phi \sin \theta_x) \vec{j} - \sin \theta_x \vec{k}$$

- Como  $\vec{i}'' = \vec{i}'$

$$\vec{i}' = \cos \phi \vec{i} - \sin \phi \vec{j}$$

- Assim, substituindo em  $\vec{\omega}_{total}$

$$\vec{\omega} = (\dot{\theta}_y \sin \phi \cos \theta_x + \dot{\theta}_x \cos \phi) \vec{i} + (\dot{\theta}_y \cos \phi \cos \theta_x - \dot{\theta}_x \sin \phi) \vec{j} + (-\dot{\theta}_y \sin \theta_x + \omega) \vec{k}$$

$$T_{rot} = \frac{1}{2} I_T (\omega_x^2 + \omega_y^2) + \frac{1}{2} I_P \omega_z^2$$

## ◆ Energia Cinética (Forma alternativa) – Método Lagrangeano

- Considerando

$$\cos \theta_x \cong 1 \quad \theta_x = \theta_y \quad \sin^2 \theta_x \ll \sin \theta_x$$

$$T_{rot} = \frac{1}{2} \left[ I_T (\omega_x^2 + \omega_y^2) + I_P (\omega^2 - 2\omega\theta_y \dot{\theta}_x) \right]$$

- Considerando a translação

$$T_{disco} = T_{eg} + T_{rot}$$

$$T_{disco} = \frac{1}{2} \left[ m_1 (\dot{x}_1^2 + \dot{y}_1^2) + m_2 (\dot{x}_2^2 + \dot{y}_2^2) + I_T (\dot{\theta}_x^2 + \dot{\theta}_y^2) + \right. \\ \left. + I_P (\omega^2 - 2\omega\theta_y \dot{\theta}_x) + m_3 (\dot{x}_3^2 + \dot{y}_3^2) \right]$$

## ◆ Equação de Movimento (forma matricial)

Substituindo as equações U, T, as forças generalizadas, e, incluindo estas últimas equações, obtém-se:

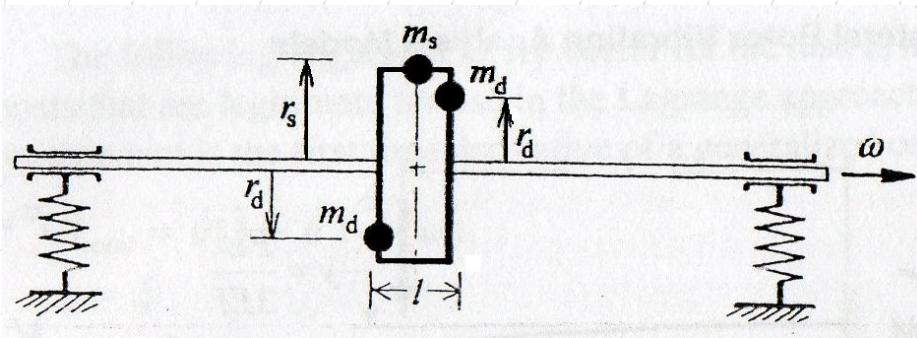
$$\begin{Bmatrix} m_1 \ddot{x}_1 \\ m_1 \ddot{y}_1 \\ m_2 \ddot{x}_2 \\ m_2 \ddot{y}_2 \\ I_T \ddot{\theta}_x \\ I_T \ddot{\theta}_y \\ m_3 \ddot{x}_3 \\ m_3 \ddot{y}_3 \end{Bmatrix} + \begin{bmatrix} c_{xx}^{(1)} & c_{xy}^{(1)} & 0 & 0 & 0 & 0 & 0 & 0 \\ c_{yx}^{(1)} & c_{yy}^{(1)} & 0 & 0 & 0 & 0 & 0 & 0 \\ 0 & 0 & 0 & 0 & 0 & 0 & 0 & 0 \\ 0 & 0 & 0 & 0 & 0 & 0 & 0 & 0 \\ 0 & 0 & 0 & 0 & 0 & I_p \omega & 0 & 0 \\ 0 & 0 & 0 & 0 & -I_p \omega & 0 & 0 & 0 \\ 0 & 0 & 0 & 0 & 0 & 0 & c_{xx}^{(2)} & c_{xy}^{(2)} \\ 0 & 0 & 0 & 0 & 0 & 0 & c_{yx}^{(2)} & c_{yy}^{(2)} \end{bmatrix} \begin{Bmatrix} \dot{x}_1 \\ \dot{y}_1 \\ \dot{x}_2 \\ \dot{y}_2 \\ \dot{\theta}_x \\ \dot{\theta}_y \\ \dot{x}_3 \\ \dot{y}_3 \end{Bmatrix} +$$

$$\frac{3EI}{L^3} + \begin{bmatrix} 1 + \bar{k}_{xx}^{(1)} & \bar{k}_{xy}^{(1)} & -1 & 0 & 0 & L & 0 & 0 \\ \bar{k}_{yx}^{(1)} & 1 + \bar{k}_{yy}^{(1)} & 0 & -1 & -L & 0 & 0 & 0 \\ -1 & 0 & 2 & 0 & 0 & 0 & -1 & 0 \\ 0 & -1 & 0 & 2 & 0 & 0 & 0 & -1 \\ 0 & -L & 0 & 0 & 2L^2 & 0 & 0 & L \\ L & 0 & 0 & 0 & 0 & 2L^2 & -L & 0 \\ 0 & 0 & -1 & 0 & 0 & -L & 1 + \bar{k}_{xx}^{(2)} & \bar{k}_{xy}^{(2)} \\ 0 & 0 & 0 & -1 & L & 0 & \bar{k}_{yx}^{(2)} & 1 + \bar{k}_{yy}^{(2)} \end{bmatrix} \begin{Bmatrix} x_1 \\ y_1 \\ x_2 \\ y_2 \\ \theta_x \\ \theta_y \\ x_3 \\ y_3 \end{Bmatrix} = \{R\}$$

$$\bar{k}_{ij}^{(n)} = \frac{L^3}{3EI} k_{ij}^{(n)}$$

## ◆ Equação de Movimento (forma matricial)

Considerando desbalanceamento estático e dinâmico, como mostrado na figura abaixo



$$[M]\{\ddot{q}\} + [C + G(\Omega)]\{\dot{q}\} + [K]\{q\} = \begin{Bmatrix} 0 \\ 0 \\ m_s r_s \cos \omega t \\ m_s r_s \sin \omega t \\ m_d r_d l \cos(\omega t + \phi) \\ m_d r_d l \sin(\omega t + \phi) \\ 0 \\ 0 \end{Bmatrix}$$